

## Призмный кольцевой резонатор с малыми поляризационными потерями

Е.А.Воронина\*, В.Н.Курятов\*, А.Л.Соколов\*\*

*Проведен сравнительный анализ поляризационных потерь трехпризмного и четырехпризмного резонаторов и определены их основные причины. Рассмотрены способы снижения анизотропии резонатора и поляризационных потерь.*

**Ключевые слова:** призмный резонатор, призмы полного внутреннего отражения, поляризационные потери.

Для снижения погрешностей лазерного гироскопа, в значительной степени обусловленных нелинейными и тепловыми эффектами, необходимо обеспечить режим его работы при малом усилении активной среды. Такой режим возможен при малых потерях резонатора. В этой связи особый интерес представляют резонаторы, образованные призмами полного внутреннего отражения (ПВО) [1]. В лазерных гироскопах типа КМ применяется четырехпризмный резонатор (рис.1,а), каждая из призм которого имеет одну грань ПВО и две преломляющие грани, расположенные под углом Брюстера к падающему на них излучению.

Призмы крепятся на моноблоке мягким припоем и попарно герметизируются его вакуумные каналы, в одном из которых инициируется высокочастотный разряд. Потери в таком резонаторе складываются из потерь, связанных с рассеянием и поглощением излучения в поверхностных слоях и в материале, из дифракционных и поляризационных потерь, а также из полезных потерь, обусловленных выводом излучения из резонатора.

В идеальном случае генерируемое излучение в призмном резонаторе должно быть линейно поляризовано, а вектор напряженности электрического поля  $E$  должен лежать в плоскости осевого контура (р-поляризация). Однако нарушение плоскостности осевого контура и наличие напряжений в материале призм приводят к возникновению s-компоненты, ортогональной плоскости контура. В данной статье рассматриваются только поляризационные потери и способы их снижения.

Можно выделить три основные причины возникновения поляризационных потерь. Первая причина – ошибки в изготовлении и сборке резонатора. В настоящее время уровень технологии позволяет свести эти ошибки к минимуму.

Вторая причина связана с тем, что волновой фронт гауссова пучка является не плоским, а сферическим, оп-

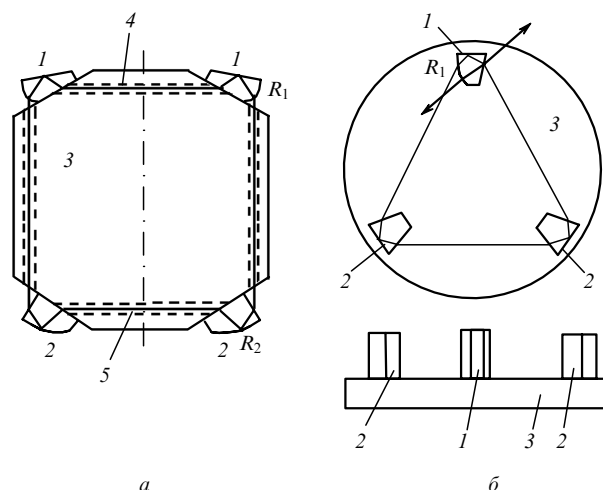


Рис.1. Моноблочная конструкция с четырехпризмным резонатором (1 – призма резонатора со сферической преломляющей гранью,  $R_1 = 1$  м; 2 – призма резонатора со сферической гранью ПВО,  $R_2 = 0.43$  м; 3 – моноблок; 4 – активный канал; 5 – пассивный вакуумный канал) (а) и планарная конструкция с трехпризмным резонатором (1 – призма резонатора со сферической преломляющей гранью,  $R_1 = 1$  м, и плоской преломляющей гранью для вывода излучения; 2 – призмы резонатора с плоскими гранями; 3 – базовая пластина (основание)) (б).

ределяемым оптической схемой резонатора. Поэтому падение излучения на грани призм под углом Брюстера имеет место только для осевой части пучка. Это приводит к тому, что преломляющие грани призм представляют собой поляризационно-неоднородные элементы.

Третья причина возникновения поляризационных потерь обусловлена наличием напряжений в материале призм, возникающих при их креплении к моноблоку.

В работе [2] приведены результаты расчета поляризационных потерь, вызванных указанными причинами. Согласно этим расчетам при соблюдении технологии изготовления и сборки кольцевого призмного резонатора поляризационные потери не превышают  $10^{-3}$  %. Суммарные же потери в таком резонаторе, как показывают измерения, составляют около  $10^{-2}$  %. Оценка реальных поляризационных потерь в призмном резонаторе может быть получена при измерении интенсивности (мощ-

\*ФГУП «НИИ "Полус" им М.Ф.Степана», Россия, 117342 Москва, ул. Введенского, 3

\*\*Московский государственный энергетический институт (технический университет), Россия, 111250 Москва, Красноказарменная ул., 14

ности) лучей, отраженных от преломляющих граней призм ПВО.

С целью совершенствования конструкции лазерного гироскопа с точки зрения возможного нарушения плоскостности осевого контура и наведенной пространственно-неоднородной анизотропии материала призм, вызванной механическими напряжениями, была разработана так называемая планарная конструкция гироскопа с трехпризменным резонатором (рис.1,б). Каждая из призм в таком резонаторе, как и в четырехпризменном, имеет одну грань ПВО и две плоские преломляющие грани, расположенные под углом Брюстера к падающему излучению. Исключение составляет призма в вершине треугольного контура, одна преломляющая грань которой отклонена от угла Брюстера на  $1^\circ$  для увеличения доли отраженной р-компоненты и вывода излучения из резонатора, а другая выполнена в виде сферы с радиусом кривизны 1 м.

В таком резонаторе волновой фронт оказывается более плоским, чем в штатном четырехпризменном варианте, содержащем четыре сферических грани – две радиусом 1 м и две радиусом 0.43 м.

Другая отличительная особенность планарной конструкции – способ закрепления призм. Они закрепляются на базовой пластине (основании) методом оптического контакта. В отличие от моноблочной конструкции, где призм устанавливаются на преломляющую грань, посадочные грани здесь не являются рабочими. Такой способ закрепления обеспечивает удаленность каустики световых волн от области механических напряжений в материале призм, локализованных вблизи мест закрепления, что также уменьшает пространственно-неоднородную анизотропию резонатора и снижает поляризационные потери. Исследования [3] показали, что на расстоянии 10 мм от места оптического контакта напряжения в материале такие же, как и в незакрепленной призме.

Для определения поляризационных потерь в сравниваемых типах резонаторов были проведены измерения интенсивности лучей, отраженных от преломляющих граней призм. Чтобы сделать возможным сравнительный анализ планарной и моноблочной конструкций (в данном случае рассматривается прежде всего влияние напряжений в материале призм на поляризационные потери), измерения проводились для резонатора, аналогичного штатному резонатору моноблочной конструкции, однако образованному четырьмя одинаковыми призмами ПВО, каждая из которых имеет одну сферическую преломляющую грань радиусом 1 м. Трехпризменный резонатор, используемый в планарной конструкции, содержит одну сферическую преломляющую грань такого же радиуса. Следовательно, в обоих резонаторах волновые фронты достаточно плоские, что сводит к минимуму влияние их кривизны на поляризационные потери при отражении как от поверхностей призм, так и от окошек газоразрядной трубки и делает возможным сравнительный анализ. На рис.2 представлены принципиальные схемы оптических измерений.

В моноблочной конструкции измерялась интенсивность лучей, отраженных от сферических (лучи 1, 4) и плоских (лучи 2, 3) граней резонаторных призм, расположенных под углом Брюстера к падающему излучению. Лучи 1 и 2 отражаются от незакрепленной призмы, а 3 и 4 – от призмы, припаянной к посадочной поверхности моноблока мягким припоем.

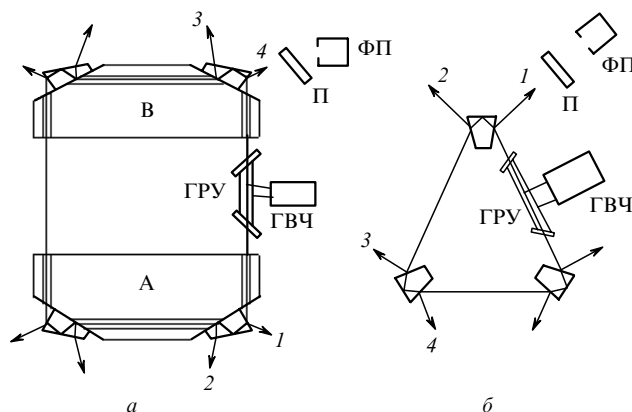


Рис.2. Принципиальные схемы измерения поляризационных потерь в кольцевых лазерах моноблочной конструкции с четырехпризменным резонатором (а) и планарной конструкции с трехпризменным резонатором (б):

ГРУ – газоразрядный узел (разрядная трубка с окнами, расположенными под углом Брюстера); ГВЧ – генератор высокой частоты; ФП – фотоприемник для измерения интенсивности лучей; А – блок с незакрепленными призмами; В – блок с призмами, закрепленными пайкой; П – поляризатор; 1–4 – лучи, отраженные от преломляющих граней резонаторных призм.

В планарной конструкции все призмы закреплены на базовом основании методом оптического контакта. В этом случае измерялась интенсивность лучей, отраженных от расположенных под углом Брюстера граней (лучи 2, 3, 4), и от грани, отклоненной от угла Брюстера на  $1^\circ$  для вывода излучения (луч 1).

Перед фотоприемником помещался поляризатор П, поворотом которого можно выделить измеряемую компоненту излучения (р- или s-). Активным элементом в обоих случаях служила одна и та же газоразрядная трубка с расположенными под углом Брюстера окнами, разряд в которой поддерживался с помощью генератора высокой частоты (ГВЧ). В эксперименте измерялась зависимость интенсивности р- и s- компонент излучения от превышения мощности накачки над пороговой. Для калибровки потерь использовалось то обстоятельство, что в трехпризменном резонаторе угол падения излучения на одну из граней призм  $\varphi_B$  составляет  $1^\circ$ , что, согласно расчетам, обеспечивает отражение 0.0093 % падающего излучения. Зная интенсивность  $I_{p1}$  луча, отраженного от этой грани, можно найти поляризационные потери на другой грани:

$$\alpha_{pol} = (0.0093/I_{p1})I_m,$$

где  $I_m$  – измеряемая мощность пучка, отраженного от преломляющей грани.

Для корректности следовало бы проводить измерения в рабочем режиме лазерного гироскопа – одночастотном одномодовом режиме. Однако чрезвычайно малые мощности лучей, отраженных от преломляющих граней под углом Брюстера, снижают достоверность измерений. Поскольку нестабильность внешних факторов меньше сказывается в многомодовом режиме при больших мощностях накачки, измерения проводились в многомодовом режиме при мощности накачки, превышающей пороговую в 5 раз. Но в этом случае, как показывает анализ, из-за большего сечения лазерного пучка результаты измерения мощности отраженных лучей по ряду причин оказываются завышенными.

Табл.1.

Конструкция резонатора	Потери р-компоненты				Потери s-компоненты			
	$\kappa_{p1}$ ( $10^{-4}$ %)	$\kappa_{p2}$ ( $10^{-4}$ %)	$\kappa_{p3}$ ( $10^{-4}$ %)	$\kappa_{p4}$ ( $10^{-4}$ %)	$\kappa_{s1}$ ( $10^{-4}$ %)	$\kappa_{s2}$ ( $10^{-4}$ %)	$\kappa_{s3}$ ( $10^{-4}$ %)	$\kappa_{s4}$ ( $10^{-4}$ %)
Моноблочная	3.4	1.84	2.2	5.6	1.78	17	16.8	11.2
Планарная	93*	1.34	1.84	2.6	1.46	0.62	5.8	2.8

\* Полезные потери, связанные с выводом излучения из резонатора.

Сравним моноблочную и планарную конструкции по поляризационным потерям в резонаторе. В табл.1 приведены результаты измерения потерь на отражение р- и s-компонент.

Поскольку не все отраженные лучи доступны для измерения, то, учитывая симметрию резонатора, потери для моноблочной конструкции определяются как

$$\kappa_{pol}^{mon} = 2(\kappa_{p1} + \kappa_{p2} + \kappa_{p3} + \kappa_{p4} + \kappa_{s1} + \kappa_{s2} + \kappa_{s3} + \kappa_{s4}).$$

Из табл.1 следует, что

$$\kappa_{pol}^{mon} = 11.96 \times 10^{-3} \text{ \%}.$$

Для планарной конструкции выражение для потерь (без учета полезных потерь) таково:

$$\kappa_{pol}^{pl} = 2(\kappa_{p2} + \kappa_{p3} + \kappa_{p4} + \kappa_{s3} + \kappa_{s4}) + \kappa_{s1} + \kappa_{s2}.$$

Из табл.1 получаем

$$\kappa_{pol}^{pl} = 2.96 \times 10^{-3} \text{ \%}.$$

Здесь  $\kappa_{pi}$  и  $\kappa_{si}$  – потери для р- и s-компонент;  $i = 1 - 4$  (см. рис.2). Таким образом, технологическая реализация планарной конструкции, а именно закрепление призм методом оптического контакта и удаленность каустики от мест крепления уменьшает в четыре раза потери на отражение по сравнению с моноблочной конструкцией. По абсолютной величине эта разница составляет  $9 \times 10^{-3}$  %.

Средние поляризационные потери на одной преломляющей поверхности составляют  $1.5 \times 10^{-3}$  % для призм моноблочной конструкции и  $0.5 \times 10^{-3}$  % для призм, установленной на оптический контакт в планарной конструкции.

Важно отметить, что потери, связанные с отражением s-компоненты в четырехпризмном резонаторе, составляют  $93.4 \times 10^{-4}$  % (78 % суммарных поляризационных потерь в этом резонаторе), в то время как в трехпризмном – только  $18 \times 10^{-4}$  % (58 % соответственно). Такое значительное различие (более чем в 4 раза) объясняется большей длиной пути света в материале призм, большей кривизной волнового фронта волны на плоских преломляющих поверхностях призм и большей анизотропией резонатора моноблочного прибора за счет больших напряжений в призмах.

Для р-компонент различие не так существенно: в расчете на одну преломляющую поверхность потери составляют  $3.26 \times 10^{-4}$  и  $1.93 \times 10^{-4}$  % соответственно для четырех- и трехпризмного резонаторов. При отражении от преломляющей грани р-компонента возникает по двум причинам: вследствие кривизны волнового фронта и из-за наличия переходного слоя на границе раздела двух сред – кварца и воздуха (так называемая пленка Друдэ [4]).

В работе [4] приведены результаты экспериментальной проверки формул Френеля. В частности, в этой ра-

боте показано, что при угле падения, равном углу Брюстера, вектор  $E_p$  для отраженной р-компоненты излучения не обращается в нуль, а отраженный свет оказывается эллиптически-поляризованным, причем эллиптичность  $\rho = |E_p|/|E_s|$  может достигать  $10^{-2} - 10^{-3}$  и более. Для частного случая отражения от поверхности чистых жидкостей, где исключены погрешности, возникающие за счет механической обработки поверхности, эллиптичность не опускается ниже  $10^{-3}$ .

Для сравнения оценим эллиптичность излучения отраженного от преломляющей грани призмы трехпризмного резонатора. Средние потери на отражение р-компоненты по данным табл.1 составляют  $1.93 \times 10^{-4}$  % для одной поверхности. Соответствующую эллиптичность можно найти из соотношения интенсивностей отраженных компонент:

$$\rho = (|E_p|^2/|E_s|^2)^{1/2} = 3.9 \times 10^{-3},$$

что по порядку величины соответствует отражению от пленок Друдэ [4].

Большее отражение излучение р- поляризации в моноблочной конструкции связано, очевидно, с большей кривизной волнового фронта в этом резонаторе.

Таким образом, предлагаемая планарная конструкция, во-первых, позволяет уменьшить поляризационную неоднородность оптических элементов, вызванную механическими напряжениями в материале, что создает предпосылки для снижения чувствительности прибора к внешнему магнитному полю. Во-вторых, уменьшается рассеяние отраженных лучей на элементах конструкции, расположенных вблизи резонаторной оптики.

Таким образом, в трехпризмном резонаторе потери на отражение р-компоненты (даже с учетом кривизны фронта) от одной преломляющей поверхности призмы ( $1.9 \times 10^{-4}$  %) близки к минимальным потерям, обусловленным отражением от пленок Друдэ. В четырехпризмном резонаторе потери на отражение р-компоненты от одной грани ( $3.26 \times 10^{-4}$  %) больше по сравнению с трехпризмным на 70 %, что, по-видимому, объясняется большей кривизной волнового фронта (четыре сферические грани, а не одна, как в трехпризмном резонаторе).

Суммарные потери на отражение s-компоненты в трехпризмном резонаторе составляют  $18 \times 10^{-4}$  % и обусловлены как натяжениями в материале призм, так и кривизной волнового фронта. В четырехпризмном резонаторе суммарные потери на отражение s-компоненты значительно больше ( $93.4 \times 10^{-4}$  %). Такие большие потери, как мы полагаем, обусловлены тем, что, во-первых, суммарная анизотропия, вызванная натяжениями, увеличивается с расстоянием, пройденным лучом в материале призм. В четырехпризмном резонаторе длина пути в кварцевом стекле почти в два раза больше. Во-вторых, закрепление призм по периметру приводит к зависимости натяжений от поперечных координат. Это об-

стоятельство должно существенно увеличивать отражение с возрастанием диаметра пучка, что мы и имеем в многомодовом режиме. Кроме того, кривизна волнового фронта создает, в основном, потери в виде s-компоненты, отраженной от преломляющих граней. По этой причине из-за поляризационной неоднородности преломляющих граней поляризационные потери возрастают с увеличением порядка поперечных мод.

Приведенные оценки поляризационных потерь в многомодовом режиме пригодны для сравнительного анализа четырехпризменного и трехпризменного резонато-

ров. По абсолютной величине потери, связанные с s-компонентой, завышены, т. к. в реальных условиях при генерации основной моды они должны быть меньше.

1. Журавлева Е.Н., Курятов В.Н., Семенов Б.Н. *Труды II С.-Петербургской междунар. конф. по гироскопической технике и навигации* (С.-Пб., 1995, ч.2, с.57).
2. Курятов В. Н., Соколов А.Л. *Квантовая электроника*, **30**, 125 (2000).
3. Индисов В.О., Курятов В.Н., Семенов Б.Н., Соколов И.Л., Фофанов Я.А. *Оптика и спектроскопия*, **75**, 451 (1993).
4. Кизель В.А. *Отражение света* (М.:Наука, 1973).